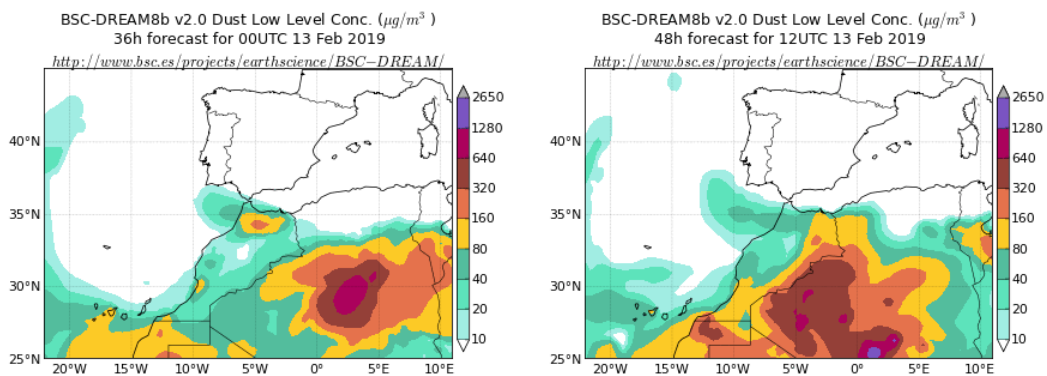


Predicción de intrusión de masas de aire africano sobre España para el día 13 de febrero de 2019

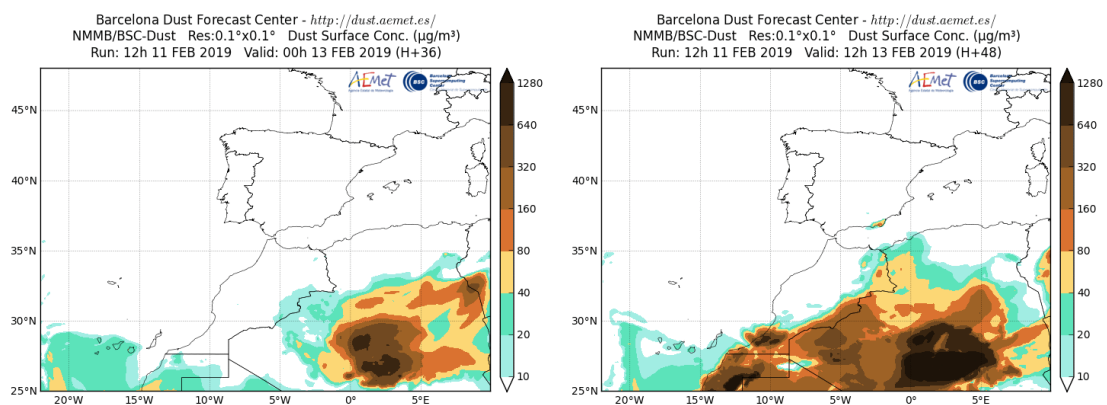
Los modelos consultados prevén la continuación del evento de intrusión de masas de aire africano que está afectando a las islas Canarias durante el día 13 de febrero. Estiman concentraciones de polvo en superficie en el rango 10-160 $\mu\text{g}/\text{m}^3$. Según el modelo SKIRON también podría producirse depósito seco de polvo sobre las islas Canarias a lo largo del día.

El modelo BSC-DREAM8b v2.0 prevé la presencia de masas de aire africano a nivel de superficie sobre las islas Canarias para el día 13 de febrero. Estima concentraciones de polvo en superficie en el rango 10-160 $\mu\text{g}/\text{m}^3$.



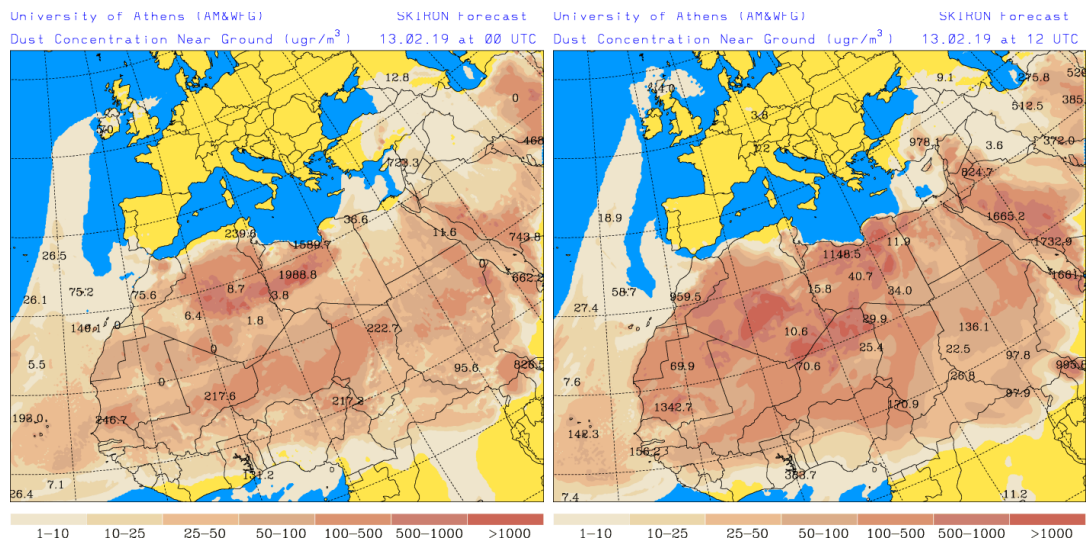
Concentración de polvo ($\mu\text{g}/\text{m}^3$) predicha por el modelo BSC-DREAM8b v2.0 para el día 13 de febrero de 2019 a las 00 UTC (izquierda) y a las 12 UTC (derecha). © Barcelona Supercomputing Center.

El modelo NMMB/BSC-Dust prevé también la presencia de polvo a nivel de superficie sobre las islas Canarias para el día 13 de febrero. Estiman concentraciones de polvo en el rango 10-40 $\mu\text{g}/\text{m}^3$. Estima también concentraciones altas de polvo para la costa sureste peninsular, que podrían estar relacionadas con procesos de resuspensión local.



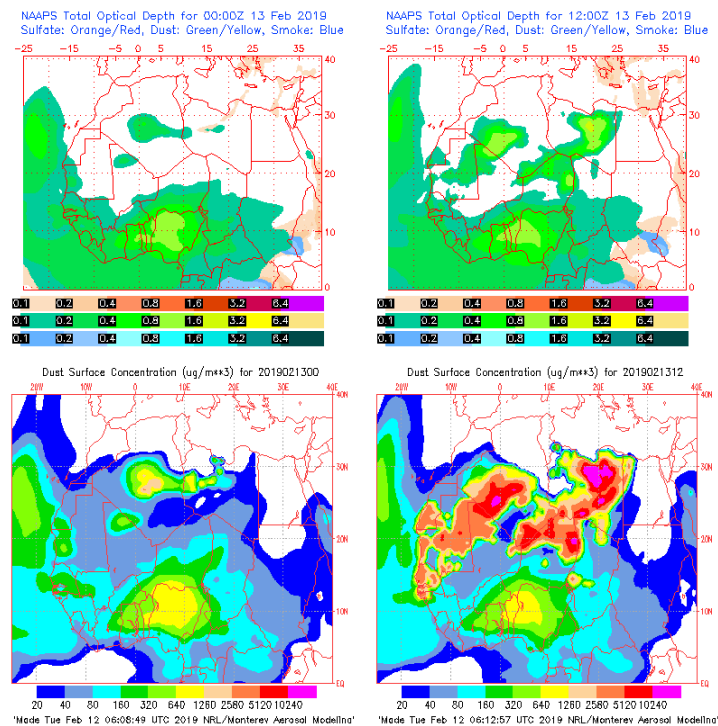
Concentración de polvo ($\mu\text{g}/\text{m}^3$) predicha por el modelo NMMB/BSC-Dust para el día 13 de febrero de 2019 a las 00 UTC (izquierda) y a las 12 UTC (derecha). © Barcelona Dust Forecast Center.

El modelo SKIRON prevé también la presencia de masas de aire africano sobre las islas Canarias para el día 13 de febrero. Estima concentraciones de polvo en superficie en el rango 1-50 $\mu\text{g}/\text{m}^3$.



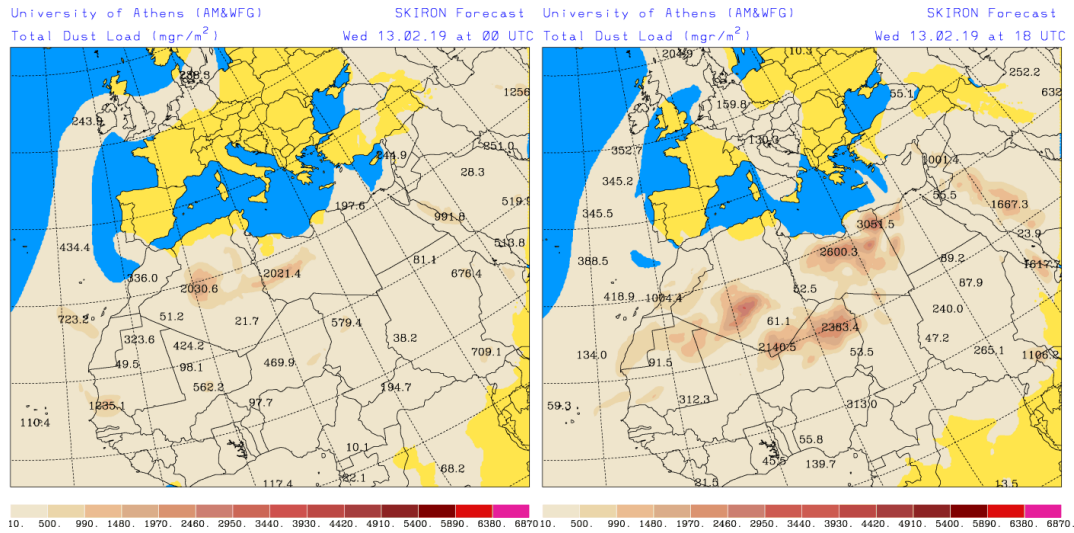
Concentración de polvo ($\mu\text{g}/\text{m}^3$) predicha por el modelo SKIRON para el día 13 de febrero de 2019 a las 00 UTC y a las 12 UTC © Universidad de Atenas.

El modelo NAAPS prevé también la presencia de masas de aire africano en superficie sobre las islas Canarias durante el día 13 de febrero. Estima concentraciones de polvo en superficie en el rango 20-640 $\mu\text{g}/\text{m}^3$.

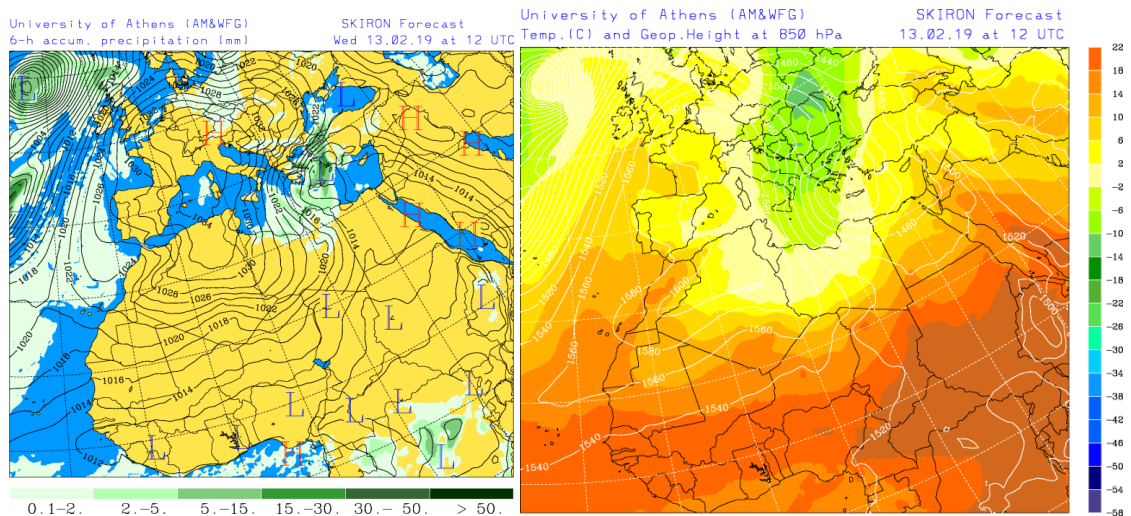


Espesor óptico de aerosoles a 550 nm (arriba) y concentración de polvo a nivel de superficie (abajo) previstos por el modelo NAAPS para el día 13 de febrero de 2019 a las 00 UTC y a las 12 UTC. ©Naval Research Laboratory (NRL), Monterey, CA.

Los mapas de carga total de polvo, así como los de presión a nivel del mar y altura geopotencial a nivel de 850 hPa proporcionados por el modelo SKIRON, muestran la presencia de masas de aire africano sobre las islas Canarias, favorecida por las altas presiones predominantes sobre la Península, el Mediterráneo y el norte de África.

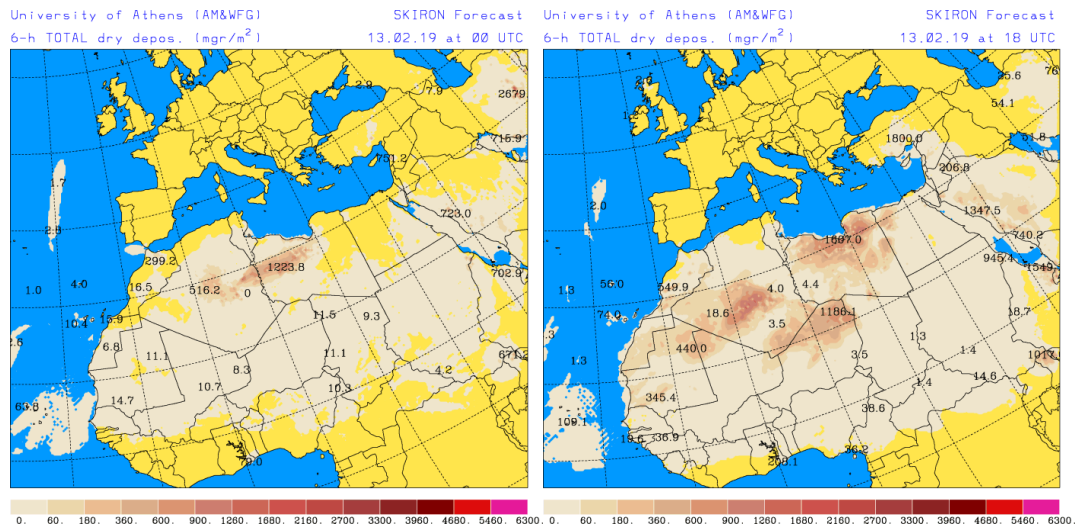


Carga total de polvo (mg/m²) predicha por el modelo SKIRON para el día 13 de febrero de 2019 a las 00 UTC (izquierda) y a las 18 UTC (derecha). © Universidad de Atenas.



Precipitación acumulada (mm) y presión a nivel del mar (hPa) (izquierda) y campo de temperaturas (°C) y de altura geopotencial a 850 hPa (derecha) previsto por el modelo SKIRON para el día 13 de febrero de 2019 a las 12 UTC. © Universidad de Atenas.

Según el modelo SKIRON también podría producirse depósito seco de polvo sobre las islas Canarias a lo largo del día 13 de febrero.



Depósito seco de polvo (mg/m²) predicho por el modelo SKIRON para el día 13 de febrero de 2019 a las 00 UTC (izquierda) y a las 18 UTC (derecha). © Universidad de Atenas

Fecha de elaboración de la predicción: 12 de febrero de 2019

Predicción elaborada por Noemí Pérez (IDAEA-CSIC)

Los datos son propiedad de la Dirección General de Calidad y Evaluación Ambiental, del Ministerio para la Transición Ecológica, y han sido obtenidos y se suministran en el marco del “Encargo del Ministerio para la Transición Ecológica a la Agencia Estatal Consejo Superior de Investigaciones Científicas para la detección de episodios naturales de aportes transfronterizos de partículas y otras fuentes de contaminación de material particulado, y de formación de ozono troposférico”.